

海軍機關學校

生徒第三學年

機關術教科書蒸氣機關推進器

大正七年十二月



海軍機關學校長

船

橋

善

彌

大正七年十二月

本書ニ依リ機關術ヲ修得スヘシ

第四版 大正七年十二月

教官

海軍機關大尉

梯

秀

雄

第三版 大正五年三月

教官

海軍機關少佐

稻田

輝

太郎

郎

第二版 明治四十五年六月

教官

海軍機關大尉

小

泉

武

三

第一版 明治四十三年十一月

教官

海軍機關少佐

關

重

光

發行年月

推進器研究參考書

- "Hydraulics" by Dunkerley vol. I. --- Hydrodynamics.
"Resistance of ships and Screw Propeller" by D. W. Taylor. vol. II. --- propellers.
"Speed and Power of Ships" by Taylor.

推進器目次

第一章、推進器總說	I
一、推進器ノ種類	I
第二章、螺旋推進器	7
二、螺旋推進器各部ノ名稱	7
三、螺旋推進器幾何學的解說	8
四、船體推進上ノ抵抗	10
五、推進器ノ失脚	23
六、螺旋ノ作用ニ基ク抵抗	30
七、推進器ノ Race	33
八、螺旋推進器ノ推力	34
九、螺旋ノ沈水度ト直徑ノ關係	36
一〇、推進器ノ空轉	37
一一、推進器ノ Cavitation	38
一二、螺旋推進器ノ回轉ニヨリ生ズル震動	41
一三、雙螺旋, 多數螺旋	41
一四、螺旋推進器ノ回轉方向	43
一五、螺旋推進器ノ回轉方向ト操舵ノ關係	44
一六、海ノ深淺ガ艦船速力ニ及ボス影響	49

第三章、螺旋推進器形狀及構造	51
一七、翼ノ形狀	51
一八、Griffiths 螺旋推進器	52
一九、Thornycroft 式螺旋推進器	53
二〇、Screw turbine 推進器	53
二一、「タルビン」式機械用推進器	54
二二、螺旋推進器ノ翼數	56
二三、翼ノ Aggregate length	57
二四、翼構成材料及ビ其ノ強度	57
二五、節ノ變更	60
第四章、螺旋推進器畫法	61
二六、節計測法	61
二七、諸種ノ畫法	64
二八、翼ノ射影法	67
二九、翼ノ射影別法	68
三〇、翼ガ對稱ナラザル場合	70
三一、翼ガ後方ニ傾斜セル場合	70
三二、翼ガ多様節ノ場合	71
三三、推進器計畫大要	72
別表一	
別表二	
別表三	
別表四	
別表五	
別表六	

推進器

第一章

推進器總說

一、推進器ノ種類、

船舶ノ推進器ハ之ヲ大別スレバ、(1) 人力ヲ以テ動カスモノ、櫓及ビ橈、(2) 機械力ニ依ルモノ、噴射外車及

Scull Oar Jet. Paddle wheel

ビ螺旋推進器是レナリ、

Screw propeller

櫓橈ハ古ヨリ一般ニ採用セラレタル推進器ニシテ、
橈ハ外車式ニ、櫓ハ螺旋式ニ類似ス、

噴射推進器、噴射推進器ハ舷外ヨリ水ヲ取入レテ
一種ノ唧筒ニ導キ、其レヨリ其ノ進行方向ト反對ニ船
首若クハ船尾ニ向ケ水上或ハ水面下ヨリ噴射シ以テ
得ラル運動量ニ依テ船ヲ推進セシムルノ裝置ニシ
テ、其ノ効率ハ外車式及ビ螺旋式ニ比シ遙ニ低キヲ以
テ著シキ發達ヲ見ズ、此ノ式ノ推進器ハ震動殆ンドナ
ク又機械ヲ停止セズシテ前後進ヲ行ヒ及ビ船底破損
漏水ノ際排水ヲ直チニ推進ニ使用セラル等ノ利益
ヲ有スルモ、水流ノ速力、急激ナル變化並ニ水路ノ屈曲

摩擦ニ歸スル損失、速力ノ割合ニ噴射口ノ大面積ヲ要スル等ノ不利益アリ、元來此ノ推進法ハ動力ヲ與フベキ水ヲ一旦船内ニ取入ルベキモノナルヲ以テ到底舷外ニ於テ多量ノ水ニ直接働キ得ル他種ノ推進器ノ如ク効率高ク、且有力ナル能ハズ、現今ニテハ低速力ナルモ寧ロ推進裝置ノ簡易ヲ望メル救助艇又ハ防火船ノ如キモノニ採用セラルルニ過ギズ、曾テ Thornycroft 會社ノ製造ニカカル二等水雷艇ニシテ噴射推進器ヲ備フルモノト螺旋推進器ヲ備フルモノトヲ比較シタルニ次ノ如シ、

効率	噴射式	螺旋式
機械	77 %	77 %
唧筒	46 %	—
噴射	71 %	—
唧筒及噴射	33 %	(螺旋) 65 %
總率	25 %	50 %

第1圖(a)ハ水雷艇ニ裝備セラレタル噴射推進裝置ヲ示ス、

噴射推進器ノ効率、

m單位容積ノ水ノ算量、

A噴射管ノ切斷面積、

V船ノ速度、

v船體ニ對スル噴射水ノ速度、

(a) 館形ヲ以テ舷外ノ水ヲ取り入レ之レヲ噴射スル場合、[第1圖(b)]

Scoop
此ノ場合ニ於テハ船ハ靜止シ水ハ船ト同シク V ナル速度ヲ以テ船内ニ流レ込ムモノト考へ得ベク又毎秒流レ込ム水量ハ mAv ナルヲ

以テ

$$\text{入り来ル水ノ有スル「エネルギー」} = \frac{1}{2}(mAv)V^2.$$

$$\text{出テ去ル水ノ有スル「エネルギー」} = \frac{1}{2}(mAv)v^2.$$

故ニ水路等ニ於ケル摩擦損失ナキモノトスレバ岬筒ノ爲シタル仕事量ハ此ノ運動「エネルギー」ノ變化ニ等シカルベシ即チ

$$\text{全仕事量} = \frac{1}{2}mA(v^2 - V^2)$$

次ニ岬筒ノ爲ニ與ヘラレタル水ノ速度ノ變化ハ $v - V$ ニシテ船ノ運動ニ對スル水ノ抵抗ヲ R トスレバ R ハ每秒水ノ運動量ノ變化ニ等シ即チ

$$R = mA(v - V) - \text{change of momentum per unit time}$$

$$= f$$

此ノ R ニ打チ勝ツニ要スル推力 T モ亦此ノ運動量ノ變化ニ等シカラザルベカラズ、故ニ有効仕事ハ V ナル速度ニ於ケル船體抵抗 R ニ打勝ツベキ仕事ナリ、

$$\text{有効仕事量} = RV = TV = mA(v - V)V.$$

$$\therefore \text{噴射効率} = \frac{\text{有効仕事量}}{\text{全仕事量}} = \frac{mA(v - V)V}{\frac{1}{2}mA(v^2 - V^2)}$$

$$= \frac{2V}{v + V} = \frac{2}{\frac{v}{V} + 1} \quad v = 2V$$

〔附言〕

$$\text{損失仕事量} = \text{全仕事量} - \text{有効仕事量}$$

$$= \frac{1}{2}mA(v^2 - V^2) - mA(v - V)V$$

$$= \frac{1}{2}mA(v - V)^2$$

此等ノ式ヲ見ルニ効率ヲ大ニセんガ爲メニハ v ト V トノ差ヲ成ル可ク小ニセザルベカラズ然ルニ推力ハ前述ノ如ク $mA(v - V)$ ナルヲ以テ同一ノ推力ニテ v ト V トノ差ヲ小ニセんガ爲メニハ A ヲ大トセザルベカラズト雖モ A ハ船體ノ構造上ヨリ制限セラレテ甚シク大トナスコト能ハズ又 A ヲ小ニセんガ爲メニハ v ヲ増加スルノ必要アリ然レドモ v ノ增大ハ損失仕事量ヲ大ナラシム、通例 v ハ $2V$ ヨリ小ナラザ

推進器

ルモノナリ。

今 $v=2V$ トスレバ

$$\text{噴射効率} = \frac{2V}{v+V} = \frac{2}{3}.$$

(b) 鮎形無クシテ舷外ノ水ヲ取り入レ之レヲ噴射スル場合、
Scoop

此ノ場合ニアリテハ吸口ノ關係上鮎形ヲ有スルモノニ比シ靜止セ
ル水ヲ吸入スルノ觀アリ此レガ爲メニ(a)ノ場合ト同シク V ナル速度
ニテ船内ニ mAv ナル水ヲ取入レントスルニハ更ニ $\frac{1}{2}(mA\bar{v})V^2$ ナル餘分
ノ仕事ヲ要スルヲ以テ

$$\text{全仕事量} = \frac{1}{2}mA\bar{v}(v^2 - V^2) + \frac{1}{2}mA\bar{v}V^2$$

$$= \frac{1}{2}mA\bar{v}v^2.$$

$$\therefore \text{噴射効率} = \frac{mA\bar{v}(v-V)V}{\frac{1}{2}mA\bar{v}v^2} = \frac{2V(v-V)}{v^2}.$$

今(a)ノ場合ノ如ク $v=2V$ トスレバ

$$\text{噴射効率} = \frac{2V(v-V)}{v^2} = \frac{1}{2}.$$

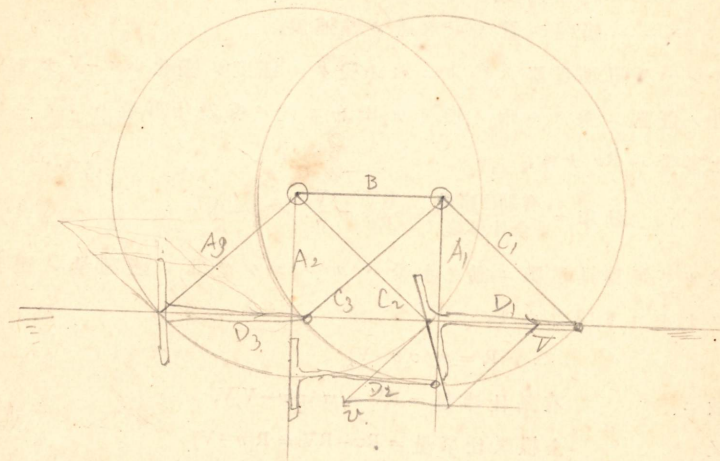
外車推進器、外車推進器ハ蒸氣力推進法ノ採用以來早クヨリ用ヰラレタル者ニシテ噴射式ニ比シ多量ノ水ニ運動ヲ與フルヲ以テ其ノ効率ハ遙ニ大ナリ、然レドモ必要上回轉速度遅ク外車及ビ機械ノ重量並ニ容積増加シ、其ノ他吃水ノ變化及ビ船體ノ動搖ニ對シテ効率ノ損失多ク大洋ノ航行ニ適セザルモ平水航行ノ淺吃水船等ニハ今尙ホ之ヲ使用セルモノアリ。

又此ノ式ノ推進器ハ Radial 外車及ビ羽打外車ノ二種ニ區別シ、後者ハ水搔取付部ノ改良ニ依リ効率ニ於テ 10% 以上ノ利益ヲ得タルモ、構造復雜ニシテ一部ノ故障モ全體ノ動作ニ關係ヲ及ボスコト大ナリ、

外車推進器

水搔取付部構造。

水搔ガ水面ト衝撃セザル爲ノ条件



推進器

第2圖ハ羽打外車推進器ノ構造ヲ示ス、

外車推進器ノ効率、

今 m 単位容積ノ水ノ質量、

A 兩側ニ於ケル水搔ノ面積、

V 船ノ速度、

v 船體ニ對スル水搔ノ線速度、

トスレバ外車推進器ノ爲メニ水ノ受クル速度ノ變化ハ $v-V$ ナリ而シテ船ノ運動ニ對スル水ノ抵抗ヲ R トスレバ有効仕事量ハ RV ニシテ全仕事量ハ Rv ナリ、

$$\therefore \text{効率} = \frac{\text{有効仕事量}}{\text{全仕事量}} = \frac{RV}{Rv} = \frac{V}{v} = 1 - S^{\text{slip}} = 70 \sim 80\%.$$

然ルニ毎秒推進器ニ働く水量ハ $mA\bar{v}$ ニシテ其ノ運動量ノ變化ハ $mA\bar{v}(v-V)$ ナルコト明カナリ、

$$\therefore R = mA\bar{v}(v-V)$$

$$\text{故ニ 有効仕事量} = RV = mA\bar{v}(v-V)V.$$

$$\text{又 全損失仕事量} = Rv - RV = R(v-V)$$

$$= mA\bar{v}(v-V)^2.$$

水ノ絶対速度ハ $v-V$ ニシテ其ノ運動「エネルギー」ハ $\frac{1}{2}mA\bar{v}(v-V)^2$ ナリ、而シテ全損失仕事量ハ此ノ二倍ニ當ルが故ニ殘リノ半分ハ水搔ト水トノ衝劇ニ基ク損失トナル蓋シ V ヨリ v ナル速力ニ急變スルモノト假想シタレバナリ、實際ニ於テ Radial 外車ハ水ヲ攪亂スルコト多ク羽打外車ニテハ之ヲ幾分減ズルヲ得ベシト雖モ此ノ衝劇ニ基ク損失ハ總テノ外車式推進器ニ於テ免ルベカラザル所ナリトス尙且摩擦抵抗及ビ水ニ後方ノミニアラザル運動ヲ與ヘ爲メニ推力ヲ増サズシテ徒ラニ機械ノ力ヲ大ナラシムルノ不利アリ、

螺旋推進器、螺旋推進器ハ前述ノ推進器ニ比シ動作頗ル復雜ナリ、即チ水ニ及ボス作用ガ或ル傾斜ヲナシ水ヲ船ノ後方ニ押シ遣ルノ外、之ニ旋廻運動ヲ賦與ス、又此ノ運動ハ軸ノ中心ヨリ遠ザカルニ從ヒ變化ヲ

生ズ、其ノ外既ニ船ノ進航ニ依リテ生ジタル水流中ニ
テ動ク等其ノ重ナル原因ナリ、

今螺旋ノ翼ガ水ニ傾斜シテ動クトキハ其ノ力ノ一部ハ軸ノ周圍ニ於テ水ヲ攪廻シ、且ツ旋廻運動ヲ與フルヲ以テ他ノ状態ガ同一ナル場合ニハ効率ノ減損ハ全ク其ノ運動ニ關係ス、然レドモ他ノ推進器ニ比シ多量ノ水ニ運動ヲ與フル事ヲ得ルノ性質上螺旋推進器ハ最モ有効ナル者ナリ、

外車式ニ比シ螺旋式ノ利トスル所ハ力量ノ大小ニ關セズ裝備シ得ル事、浮流物及ビ敵彈ニ觸レテ損傷スルコト少ナク、機械全部ヲ水線以下ニ入レテ防禦スルコト、並ニ回轉數多キヲ以テ外車式ヨリ小機械ヲ以テ同一馬力ヲ發生シ得ル等ニシテ、唯外車式ハ同一吃水ニテハ水搔ノ長サヲ加減シテ所要面積ノ増減ヲ行ハルルノ利便ヲ有ス、

螺旋推進器ニ就テハ次章以下ニ於テ詳説スベシ、

螺旋式機械が外車式ヨリハナル理由。

機械馬力ハ $2PLAN = \frac{1}{2} \times \pi \times D^2 \times V \times \rho$ 故ニ一馬力ニ $\frac{1}{2}$
レバ A 増 $\frac{1}{2}$ 減 $\frac{1}{2}$ スハ L 、 A 等ヲ $\frac{1}{2}$ 減 $\frac{1}{2}$ スハ L 得。

第二章

螺旋推進器

二、螺旋推進器各部ノ名稱、

或ル軸ノ周圍ニ沿ヒ長キ薄鐵板ノ線ヲ以テ螺旋ヲ
畫キ一部ヲ軸ト共ニ切取ルトキハ、板ハ推進器ノ翼ト
ナリ、軸ハ轂ヲ形成ス、故ニ螺旋推進器ナル者ハ二條乃至
至四條螺ノ一部ヲ以テ水中ノ運動ニ適スル様ニ構造
シ水ヲ母螺トシテ船ヲ進行セシムル者ナリ、(第3圖)

螺旋推進器ノ節、^{Pitch} 推進器固體中ニアルト假定シ一
回轉スルトキニ進ム距離ハ節ニシテ、通常ノ推進器ハ
何レモ全節ノ一小部分ナリ、此ノ節ハ又速力ト關係ヲ
有シ回轉數トノ相乘ヲ螺旋ノ速力ト稱ス、其ノ割合ハ
^{Speed of the screw} 種々ノ點ニ於テ一定セズト雖モ、同一速力ニテ節大ナ
レバ回轉數少キモ節小ナレバ回轉數ヲ大ナラシメザ
ルベカラズ、

螺旋ノ直徑及ビ長、螺旋ノ直徑トハ回轉中翼ノ尖
端ニテ畫ク圓ノ直徑ヲ言ヒ、螺旋ノ長サトハ推進軸ノ
軸ノ方向ニ計リタル翼ノ幅ニシテ、之ニ翼數ヲ乘ジタ
ルモノヲ Aggregate length ト言フ、

P---pitch

n---no. of revolution per min.

$P \times n = \text{Speed of prop.}$

螺旋ガ前進回轉ヲナス場合ニ最初水ニ入ルベキ翼
 端ヲ先端ト稱シ、其ノ反對側ヲ後端ト言フ。
 Leading edge Following edge
 螺旋ノ面積、螺旋ノ直徑ヲ以テ畫キシ圓ノ面積ヲ
 盤面積ト言ヒ、盤ノ面積ハ通常引去ラザルモノトス、翼
 Disc area of screw
 ノ展開面積トハ翼ノ表面積ニシテ、之ニ其ノ推進器ノ
 Developed or Expanded area
 翼數ヲ乘ジタルモノヲ全展開面積ト言ヒ、螺旋ノ軸ニ
 翼數ヲ乘ジタルモノヲ全展開面積ト言ヒ、螺旋ノ軸ニ
 Total developed area
 直角ナル平面上ニ射影シタルモノヲ投射面積ト言フ
 Projected area
 翼ノ表面トハ前進ノ時水ヲ後部ニ押シ遣ル面ニシテ
 Face of blade
 其ノ背面、即チ船體ニ接近スル部分ヲ翼ノ背面ト言フ。
 Back of blade
 節ノ種類及ビ比、通常螺旋ノ節一様ナレバ True
 Uniform
 screw ト言ヒ、節ガ所々異ナル場合ニハ Variable pitch screw
 ト言フ、若シ節ガ先端ヨリ後端ニ行クニ從ヒ次第ニ増
 加スレバ軸ノ方向ニ増加スト言ヒ、其ノ反對ナレバ軸
 Increases axially
 ノ方向ニ減少スト言ヒ、又軸ノ中心ヨリ遠ザカルニ從
 Decreases axially
 ツテ増減アル場合ニハ半徑ノ方向ニ増減スト言ヒ、
 Increases radially or decreases radially
 螺旋ノ節ノ比トハ Pitch ÷ Diameter ニシテ直徑ノ比ト
 Pitch ratio of the screw Diameter ratio
 ハ其ノ反對 = Diameter ÷ Pitch ナリ、
 別表 1 ハ帝國艦艇ノ例ナリ、

三、螺旋推進器幾何學的解說、

Geometrical Explanation of the Screw Propeller

螺旋推進器ノ翼ハ軸ニ直角ナル一線ガ軸ノ方向ニ
 一様ナル速力ヲ以テ進ミ一回轉ヲナシ生ズル所ノ螺
 旋面ノ $\frac{1}{8}$ 乃至 $\frac{1}{4}$ ヲ有スル者ニシテ、第4圖(a)ハ一回轉
 シタル螺旋面ヲ示ス、今此ノ圖ハ OP ハ半徑トシ OY ハ

軸トセル圓筒ト考ヘラルルヲ以テ一端ヲ縦ニ切開シ
テ展開スレバ第4圖(b)ノ如キ長方形トナリ、曩ノ螺旋
PGSハ對角線ナル直線 PGS' トナリテ P'S' ハ節ヲ示ス、

通常一樣ナル節ノ推進器ヲ得シニハ斯クシテ得タル螺旋面ノ一部ヲ取り之ニ厚ミヲ附シテ翼トナシ所要ノ翼數ニ應ジテ Boss 軸ニ取付クルニアリ、翼ノ外形ハ展開面ヲ以テ決定スト雖モ、螺旋面ハ球面ノ種類ニ屬シ平面上ニ完全ニ展開スルコト能ハザルヲ以テ、其ノ面積ハ實用上差支ナキモ、實際ヨリハ稍々小トナル、第5圖ハ展開シタル翼ノ形狀ヲ示ス、

若シ螺旋面ヲ畫クベキ直線ガ軸ニ對シ直角ナラズシテ、或ル角度ヲナス時ハ之ニ依リテ生ズル螺旋面モ又傾斜ヲ生ズベシ、斯ノ如キ者ヲ用フル時ハ Rake セル翼ヲ有スト言フ、旋盤ニテ前者ハ角螺、後者ハ尖螺ヲ切ル場合ニ於ケルガ如シ、第6圖及ビ第7圖ハ各其ノ種類ノ推進器ヲ示ス、螺旋面ハ又直線ノ代リニ曲線ヲ以テモ作り得ラル者ニシテ、第8圖ノ如シ、

尙ほ翼ノ形狀ハ第6圖ノ如ク中心線ノ兩側全ク對稱ノ者ハ少ナクシテ、種々變化ヲ有シ通常其ノ先端ヲ Leading edge 切取り後端ニ大サヲ増シ居ルコト、第9圖ノ如キモノ Following edge 多シ、

次ニ第4圖ニ戻リ、一樣ナル節ノ螺旋トハ線中各部ニ於ケル曲線ト軸ニ直角ナル平面トノ傾斜同一ナルノ意ナリ、即チ第4圖(b)ノ直線 PS' ハ PP' ニ對シテ各點同一角度ヲ有スルコトトナル、故ニ節ハ此ノ場合 SPP'

角ニテ現ハスコトヲ得可シ、

然ルニ PS' ナル直線ガ第10圖(a)ノ如ク RR' ナル曲線トナレル場合ヲ考フルニ、斯クシテ得タル螺旋ハ(b)
ノ如クナリ、其ノ傾斜ハ上方ニ行クニ從ヒ次第ニ減ジ
居ルヲ以テ節モ又次第ニ減ズルヲ知ルベシ、故ニ或ル
點ニ於ケル節ヲ知ラントセバ曲線上ニ切線ヲ畫キ、其
ノ傾斜度ヨリ見出スコトヲ得可シ、即チ P 點ノ節ハ P'
 R' ナルガ如シ、

四、船體推進上ノ抵抗、

船ガ水中ヲ進行スル時ハ著シキ抵抗ヲ生ズルモノ
ニシテ現今ノ學說ニ依レバ其主ナルモノヲ三トス、即
抵抗二種チ船ノ形狀完全ナラサル爲メ渦流ノ發生、水ニ接スル
表面ノ摩擦、水面附近ニ於テ船ガ波ヲ起スコト是レナ
リ、

今海水ヲ以テ完全ナル流體トシ其ノ分子ハ皆水平
且ツ平行ニ一定ノ速度ヲ以テ或ル方向ニ流ルモノ
ト假定スルトキハ此ノ各分子ノ流ルル軌跡ヲ Stream
line ト稱ス、

(一) 渦流ヲ生ズル爲メニ起ル抵抗、

Eddy resistance
實際ノ船ニ於テ此ノ種抵抗ヲ述ブルニ先ダチ之ガ
解説ヲ容易ナラシメンガ爲メ薄キ沈水セル板ニ就キ
テ考ヘン、元來此ノ抵抗ト摩擦抵抗トハ或ル一定ノ
關係ヲ有シ兩者相共ニ來ルモノナリ、

今第11圖ニ示スガ如ク水ノ流レノ方向ト板面トナ

ス角ヲ α トス、然ルトキ板ノ前面ヨリ遠距離ニ在ル水分子ノ Stream line ハ皆水平ニシテ且ツ一定ノ速度ヲ以テ平行ナル直線上ヲ進ムト雖モ漸次板ノ前面ニ近ヅクニ從ヒ其ノ進路ヲ妨害セラレテ遂ニ左右ニ分レテ進ムガ故ニ從ツテ其ノ速力ヲ減ズ、爲メニ自然其ノ壓力高昇ス、又背面ニテハ水ハ混亂シテ渦状ヲ呈シ爲メニ其ノ深サニ相當スル壓力ヨリモ壓力ノ減降ヲ來タス、斯クシテ板ハ前カラハ押サレ後カラハ引張ラルガ如キ狀態トナリ其ノ面ニ垂直ト切線トノ兩方向ニ壓力ヲ受ク、此ノ垂直ノ方向ノ壓力ヲ沿法線壓力ト Normal pressure 言フ、

Lord Rayleigh 氏ハ實驗ノ結果ニヨリ此ノ沿法線壓力ヲ次式ヲ以テ示セリ、

$$P_n' = \frac{2\pi \sin \alpha}{4 + \pi \sin \alpha} \cdot \frac{W}{2g} A v^2.$$

P_n' 沿法線壓力 听

W 水ノ重量(每立方呎) 听

g 地球ノ引力 32.2 呎/秒/秒

A 板ノ表面積 平方呎

v 板ノ速力 呎/秒

α 板面ト進行方向トノ角、

渦流抵抗ハ此ノ沿法線壓力ノ大サニヨリ消長スルモノニシテ其ノ量ニ至ツテハ前面ト背面トノ兩壓力ノ差ニ依ルモノナレドモ上式ハ前面ニ起ル壓力ノミヲ示スモノナルガ故ニ渦流抵抗トナルベキ壓力ヲ此

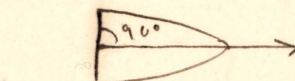
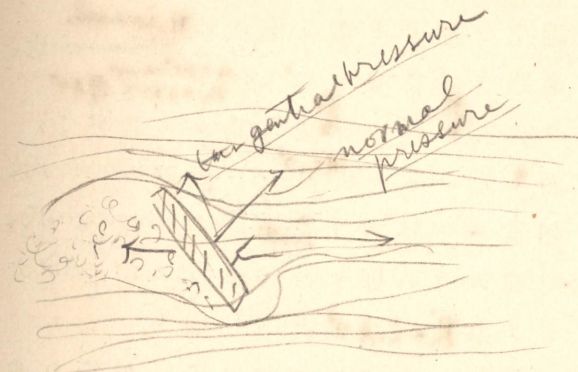


圖1 側圧を無視した場合

$$P_n' = \frac{2\pi}{4 + \pi} A \cdot \frac{W}{2g} v^2 = 1.88 A \frac{W}{2g} v^2$$

ノ式ニ依リテ求ムルコト難シ、茲ニ總沿法線壓力トシ
Total normal pressure
テ得タル種々ナル實驗式ヲ舉グレバ

$$P_n = 1.622 \frac{\sin \alpha}{0.39 + 0.61 \sin \alpha} \cdot \frac{W}{2g} A v^2 \dots \text{W. Toessel 氏},$$

$\alpha = 70^\circ$ 以上
 $P_n = 1.622 \frac{W}{2g} A v^2$

但シ α ノ 大 (10° 以下) ナル場合ニ限ル、

$$P_n = 1.7 \sin \alpha A v^2 \text{ (清水中)} \dots \text{William Froude 氏},$$

$$P_n = 1.534 \sin \alpha A v^2 \text{ (清水中)} \dots \text{Lord Rayleigh 氏},$$

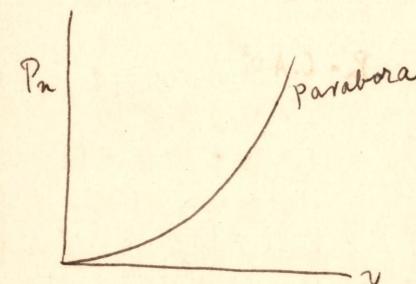
斯クノ如ク一般ニ渦流抵抗ト言ヘバ $K \sin \alpha \cdot \frac{W}{2g} A v^2$ ナ
ル式ニテ示サルベシ、 $P_n = C A v^2$.

扱テ船ノ渦流抵抗モ亦此ノ板ノ如ク船ノ外鉄ハ或
ル角度ヲ以テ進行スルヲ以テ板ノ場合ニ似タルモノ
ニシテ船首及船尾浸水部ノ形狀殊ニ後者ニ關係シテ
變化スルモノナリ、而シテ實驗ノ結果、此ノ抵抗ト摩擦
抵抗トハ兩々相離ルベカラザル關係アルヲ以テ次ニ
述ブル所アラントス、

(二) 摩擦抵抗、 Frictional or Skin resistance

傾斜セル板ヲ水中ニ曳ク時ニ板ノ前面ニ沿法線壓
力ヲ生ジタルト同時ニ水ガ板面ヲ流ルル爲メニ板ノ
表面ト水ノ分子ト相摩擦シテ板面ニ切線ノ方向ニ所
謂沿切線壓力ヲ生ズ、是レ即チ摩擦抵抗トナルベキモ
ノナリ、此ノ抵抗ハ板ノ表面ノ粗密、面積、長サト幅トノ
關係及び進行速力等ニ依リテ變化スルモノニシテ古
來此ノ抵抗ノ測定ニ於テ研究セル多數ノ學說中
W. Froude 氏ノ說最モ適切ナリ、

同氏ハ船體ノ如キ形狀ヲナシタル實體ニ就テハ試



驗ヲ施サザルモ 1870 年ニ厚 $\frac{3}{16}$ 吋深 19 吋長サ 1 呎 6 吋
ヨリ 50 呎ニ至ル板ニ各種ノ材料ヲ塗布シテ之ヲ長サ
276 呎上部ノ幅 36 呎深サ 8 呎 9 吋ノ清水槽内ニテ其
ノ頂部ヲ $1\frac{1}{2}$ 吋沈メテ曳キ其ノ抵抗ノ實驗ヲナシ摩
擦係數ヲ測定シ次ノ算式ヲ得タリ、

$$R_s = \mu s V^n$$

R_s 摩擦抵抗 吋

μ 摩擦係數

S 摩擦ヲ受クベキ全面積 平方呎

V 每時ノ速力 節

n 速力ノ幕數

上式中 μ ノ値ハ摩擦面ノ性質ニ依ル外長サニ關係シ
時トシテハ長サヲ増スニ從ヒ減ズ又僅少ナルモ溫度
ニ關係シ溫度高キニ從ヒ減ズルモ壓力ニハ關係セズ
又流體ノ密度ニ比例スルガ故ニ海水中ニ於ケル抵抗
ハ清水ノ場合ヨリモ $2\frac{1}{2}\%$ 大ナリ、

別表 2 ハ W. Froude 氏ガ實驗ヨリ得タル表ニシテ速
力ハ節ニ換算セシモノナリ、又第 12 圖ハ其ノ試驗裝置
ヲ示ス、

W. Froude 氏ノ實驗ニ次ギ其ノ子 R. E. Froude 氏ハ數
種ノ實驗ヲ重ネ尙ホ Dr. Tideman 氏ノ實驗ノ發表ニ依
リ船ノ摩擦抵抗モ亦上記板ノ實驗ニ依リ得タル式ト
同様ナルコトヲ確メ得タリ、

別表 3 ハ R. E. Froude 氏ガ實驗ノ結果ヨリ計算セル
モノ、別表 4 ハ Dr. Tideman 氏ガ實驗ヨリ得タル表ニシ

テ共ニ μ 及ビ n ノ値ヲ示スモノニシテ之ヲ用ユルトキハ摩擦抵抗ヲ算定シ得ベシ、

米國華府ノ艦型試驗所ニ於ケル Taylor 氏ノ實驗ニヨレバ長サ 20 呎ノモノ迄ハ R. E. Froude 氏ノ表ニヨリ一致スルモ其レヨリ長サヲ増セバ僅少ノ差アリ、故ニ實際ノ船ニハ Dr. Tideman 氏ノ表ヲ用ユル方宜シカラント稱ス、米國ニテハ 100 呎以上ノ船ナラバ μ ハ Dr. Tideman 氏ノ表ノ値ヲ用ヒ n ハ 1.83 トシテ計算ス、

然シテ渦流抵抗ハ前項述べシ如ク摩擦抵抗ノ一部分タルベキモノニシテ現今ノ如キ善良ナル形狀ノ艦船ニテハ摩擦抵抗ノ 5 % 乃至 6 % ニ過ギズ而シテ Dr. Tideman 氏ノ表ニテハ R. E. Froude 氏ノ表ヨリ約 5 % 多キ結果ヲ得可キニ付渦流ト摩擦トノ兩抵抗ヲ合シタル値ヲ得可ク又 R. E. Froude 氏ノ表ニヨリテ摩擦抵抗ヲ求メ此ノ 5 % 乃至 6 % ヲ以テ渦流抵抗トシテ算出スルモ可ナリ、

○ (三) 造波抵抗、 Wave resistance

水中ヲ船ガ進行スル時ハ水ノ表面ニ高低ヲ生ジ波状ヲ呈ス波ハ其ノ本性トシテ相隣接セル分子間ニ傳播シ周圍ニ擴大セントスルモノニシテ此ノ波ヲ生ゼシムルニ相當ノ「エネルギー」ヲ要ス、此ノ「エネルギー」損失ハ又一種ノ抵抗トナルベシ、而シテ船ノ進行スルニ從ヒ Stream line の壓力ノ爲メニ波ハ其ノ前後ニ連續發生シ其ノ波状ハ漸々船ヲ去ツテ擴大スルモノニシテ船ニ生ズルモノヲ Bow wave ト言ヒ艤ニ起ルモノヲ

モノヲ Stern wave ト言フ、

此等ノ波ノ擴ガリ方ハ發散的ニシテ船ノ進行方向ト或ル傾斜ヲナス而シテ連續發生スル各浪頂^{Wave crest}ハ皆殆ンド一直線ヲナシ互ニ相平行スルノミナラズ其ノ高サハ船ヲ距ルニ從ヒ減少シ遂ニ相消失ス、

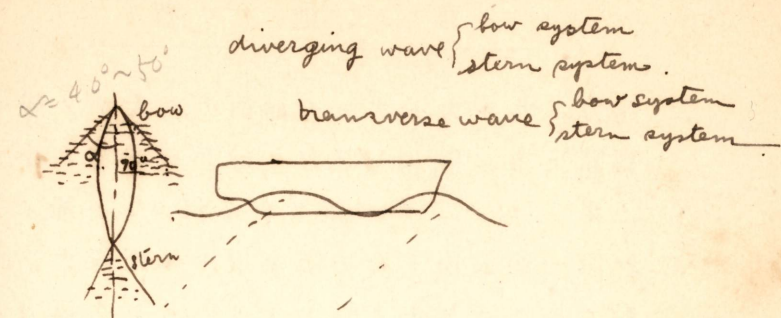
此等二種ノ波ハ船ノ速力大ナラザル際ニモ發生スト雖モ又速力非常ニ增加セシ際ニ至リ始メテ發生スル縱ノ波ト稱スル他ノ一種ノ波アリテ船ト同方向ニ
Transverse Wave
進行シ其ノ浪頂ハ殆ンド船ノ進行方向ト直角ヲナスモノアリ、

以上三種ノ波ハ互ニ相交叉スルノミナラズ艦體ノ擦擦ノ如キハ大ニ此等ノ波ニ影響ヲ及ボシ且ツ其ノ大サ若クハ位置等ヲ變換スルコトアルヲ以テ靜水中ト雖モ各別ニ識別スルコト困難トナルコトアリ、

之ヲ要スルニ波動ノ原因^{情狀}ハ船ノ進行速力ト其ノ形狀トニヨリテ變化スルモノニシテ就中造波抵抗ハ低速力ニ於テハ著シキ結果ヲ及ボサザルモ速力ノ増加ニ從ツテ急激ニ增大スルモノナリ、而シテ先キニ述べシ如ク Stream line の壓力ハ其ノ速力ノ自乘ニ比例ス波ノ高サモ亦然リ、今船ノモノヲ AV^2 艤ニ起リタルモノヲ BV^2 トシ其ノ合成ニヨリ造波抵抗ヲ求メバ次式ノ形トナスコトヲ得ベシ、

$$R_w = V^4 \left(A^2 + B^2 + 2KAB \cos \frac{m}{C^2} 646^\circ \right)$$

此ノ AB ハ船ノ速力、長サ及ビ形狀ニヨリ變化スル係數ナリ、又 K ノ値ハ低速力ニテハ零ニシテ



$$R_w \propto V^2$$

$$P_s \propto V^{1.83}$$

$$P_w \propto V^4$$

$$P \propto V^2$$

$$H \propto V^2$$

$$H_a = AV^2$$

$$H_s = BV^2$$

送波 Energy, $H = \text{比重} \times V^2$

速力ト共ニ大トナルモ如何ナル大サノ船ニテモ
實際上達シ得ベキ速力ニ於テハ非常ニ小ナルモ
ノナリ、 $m \frac{L}{S}$ ナル値ヲ有ス但シ Lハ船ノ長サ、S
ハ第一船浪頂ト第一艤浪頂トノ距離ナリ、而シテ
First bow wave crest First stern wave crest
船ノ長サニヨリテ異ナルモノニシテ速力ノ増加
ニ從ヒ僅カニ増スモノナレドモ普通ノ船ニテハ
其ノ值 1.15 位ニシテ低速力ニテハ 1 ニ近シ、
 $C^2 \frac{V^2}{L}$ ナル値ヲ有シ之ヲ速力對長サノ比ト稱
ス從ツテ $c = \frac{V}{\sqrt{L}}$ ナリ、

上ノ式ニ於テ最後ノ項ハ消去シ得ベク又 A 及ビ B
ハ恒數トシテ置クコトヲ得ルモノニシテ其ノ一般式
ハ

$$R_w = V^4 \times \text{constant} \quad \text{或ハ} \quad R_w = b \times V^4.$$

W. Froude 氏ハ比較法則ヨリシテ上式ノ b の値ヲ定
Low of comparison
メ次ノ公式ヲ得タリ、

$$\boxed{R_w = b \frac{D^{\frac{2}{3}}}{L} V^4}$$

D 排水量 噸

L 船ノ全長 呎

$b_0 = 0.4$ 速力高キ船(細長ノ船)

$= 0.5$ 速力低キ船(幅ニ比シ短キ船)

以上三種ノ抵抗中渦流及ビ造波抵抗ヲ合シテ殘余
抵抗ト稱シ全抵抗ヲ摩擦殘餘ノ二抵抗ニ大別スルモ
Total resistance
又時トシテハ渦流抵抗ヲ省略シテ造波抵抗ノミヲ殘
餘抵抗トスルコトアリ、是レ船體外部附屬物ノ少ナキ
艦船ニ於テハ殘餘抵抗ハ重ニ造波抵抗ナレバナリ、

Total resistance } Residuary resist. $R_w + R_e$,
Frictional resist. R_f or R_s ,

艦型試験所ニ於テ雛形ヲ曳張リテ試験シ或ハ二ツノ艦船ヲ以テ實際ニ曳張リテ得タル抵抗ヲ曳綱抵抗
ト稱シ是レヨリ摩擦抵抗ヲ減ジタルモノヲ殘餘抵抗
トス、

$$R_w = b_o \frac{D^{\frac{5}{2}}}{L} V^4.$$

即チ是レナリ、

〔註〕相似艦船トハ其ノ長サ幅及ビ深サノ比互ニ相
Similar ship

同ジキモノ即チ大小ノ差ハアレドモ其ノ形狀及
ビ諸部ノ割合相同ジキモノヲイフ、

相當速力トハ相似艦船ニ於テ其ノ各ノ長サノ
Corresponding speed

平方根ニ比例スル速力ノ稱呼ナリ、

〔例〕 $V_1 : V_2 : V_3 :: \sqrt{L_1} : \sqrt{L_2} : \sqrt{L_3}$.

故ニ相似艦船ニ於テ相當速力ノ時 $\frac{V}{\sqrt{L}}$ ノ値ハ同

一ナルコト明ラカナリ、

各種艦船ニ對スル $\frac{V}{\sqrt{L}}$ ノ値ヲ示セバ次ノ如シ、

船種	$\frac{V}{\sqrt{L}}$
荷物船	0.5—0.55
客 船	0.7—0.8
高速ノ客船	0.9—1.0
戰 艦	0.9—1.0
巡洋艦	1.0—1.2
驅逐艦	1.8—2.0
高速ノ内火艇	2.5—5.0

similitude.
geometrically
dynamically

比較法則、 W. Froude 氏ハ艦船ノ雛形ヲ以テ實驗中幾何學上ノ形狀相同シキモノハ其ノ大小如何ニ關セズ相當速力ニテ駛走セシムルトキ波浪ノ生ズル狀況相似タルヲ發見シ是レヨリ次ノ法則ヲ案出セリ、

『相似艦船ヲ相當速力ニテ駛走セシムルトキ其ノ波浪ヨリ生ズル抵抗ノ比ハ其ノ排水量ノ比ニ同ジ』

相當速力ノ例、

A, B ノ二船ガ相似船ナルトキ、

A ノ長サ 600 呎

B ノ長サ 700 呎

トシテ A 船ハ既定ノ速力 23.18 節ノモノトスレバ B ノ相當速力ヲ求メシニハ

$$\sqrt{L_1} : \sqrt{L_2} :: V_1 : V_2$$

$$\sqrt{600} : \sqrt{700} :: 23.18 : V_B \therefore V_B = 25 \text{ 節ナルガ如シ、}$$

又或ル船アリテ長サ 700 呎速力 25 節ニテ其ノ雛形ノ長サ 25 呎ナルトキハ其ノ雛形試驗速力ハ

$$\sqrt{700} : \sqrt{25} :: 25 : V_m \therefore V_m = 4.25 \text{ 節}$$

又長サ 600 呎速力 23.18 節ノ船アリテ之ト相似ノ船ヲ作リ 25 節ニテ駛ラシメントスルニハ其ノ新船ノ長サ如何トイフニ

$$23.18^2 : 25^2 :: 600 : L \therefore L = 700 \text{ 呎ノ如シ、}$$

以上概説セル所ニヨリテ船ノ全抵抗ヲ算出スル法
次ノ如シ、

航種 B.S	全力 R _s R _r		<u>13.5</u> R _s R _r	
	62%	38	76	24
B.C.	62	38	83	17
L.C.	48	52	82	18
T.B.D	40	60	76	24

合
抵
抗
算
法

① 速力對長サノ比 $\frac{V}{\sqrt{L}}$ ノ值 0.5 乃至 0.6 以上ナ
ラザル低速力ニアリテハ 造波抵抗ハ全抵抗ノ 10%
ヲ超過スルコト稀レナルヲ以テ此等ノ速力以内ニ
テハ摩擦抵抗及ビ渦流抵抗ノ式ヨリシテ得タルモ
ノニ其ノ 10% ヲ加フベシ、

$$R_T(\text{全抵抗}) = \mu SV^n + \frac{10}{100} \times \mu SV^n.$$

〔注意〕 Tideman 氏ノ表ヲ用ユベシ、

② 速力增加スルニ從ヒ 造波抵抗増加スルヲ以テ
若シ速力對長サノ比ガ 1.2 ヲ超サザル程度ニ於テハ
Speed length ratio

$$R_T(\text{全抵抗}) = \mu SV^n + b_0 \frac{D^{\frac{3}{2}}}{L} V^4.$$

〔注意〕 Tideman 氏ノ表ヲ用ユベシ、

③ 速力對長サノ比 1.2 以上ニ達シタル高速力ニ
在ツテハ

$$R_T(\text{全抵抗}) = \mu SV^n + V^4 \left(A^2 + B^2 + 2KAB \cos \frac{m}{C^2} 646^\circ \right)$$

ヲ用ヒザルベカラザルモ此ノ A, B, K ナル値ハ雛形
ニ就キ實驗ヲ經ザレバ決定スルニ至ラザルヲ以テ
此ノ式ヲ以テ直チニ計算スルコト能ハズ然レドモ
幸ニシテ此ノ比ガ 1.2 以上ノ場合極メテ稀ナルヲ
以テ實用ニハ第一第二ノ方法ニテ計算セバ可ナリ、

近時一般造船計畫ニ於テ用ヒラルル方法トシテ

〔第一〕 By Taylor's formula.

〔第二〕 By Taylor's curve.

〔第三〕 By John's curve.

ノ三種ニシテ通例此ノ三通リニテ計算シスクシテ

得タルモノノ平均ヲ取ル、今第一第三ノ方法ニ就キ説明セシム。

By Taylor's formula.

(a) 残餘抵抗、
Residuary resistance

$$R_f = \frac{1.25 \times b D V^4}{L^2}$$

但シ $\frac{V}{\sqrt{L}} = 1.2$ 以下ナルトキノミニ限ル、

R_f 残餘抵抗、 听

b Block coefficient.*

D 排水量、 噸

V 速力、 節

L 船ノ長サ、 呪

[註] * ハ船ノ排水容積ト其ノ船ノ長サ、幅、深サノ三邊ヨリナル立方積トノ比ニシテ

$$\text{Block coefficient} = \frac{D \times 35.9}{L \times B \times H}$$

(b) 摩擦抵抗、
Frictional resistance

$$R_f = \mu S V^n = \mu S V^{1.83}$$

R_f 摩擦抵抗、 听

S 浸水面積、* 平方呎
Wetted surface

[註] $S = C \sqrt{D \times L}$ (By Taylor)

C ハ浸水面積ノ係數ニシテ別表 5 ヨリ求メ
Wetted surface coefficient

得ベク又第13圖ハ同曲線圖ナリ、而シテ兩者ニ於ケル C ノ値ハ少シ異ナルモ後者ヲヨリ精密ナリトス、

例題、長サ 570 呪 幅 75 呪 吃水 26 呪 排水量 17,000 噌

block coefficient

R_f or R_s

0.62 — B.S.

0.52 — C.

0.43 — T.B.D.

0.73 — C.S.

推進器

ナル一船アリ其ノ速力27節ナルトキノ全抵抗ヲ求メヨ、但シ Midship section coefficient = .96
_{tance}
 トス、

解;—

$$\frac{V}{\sqrt{L}} = \frac{27}{\sqrt{570}} = 1.13 \text{ ナルヲ以テ Taylor の公式ヲ}$$

使用スベシ、

$$\text{Block coefficient } (b) = \frac{D \times 35}{L \times B \times H} = \frac{17000 \times 35}{570 \times 75 \times 26} = 0.54.$$

又 $\frac{HB}{BH} = \frac{75}{26} = 2.88$ ナルヲ以テ第13圖ヲ使用
 スレバ $C = 15.2$.

$$\therefore \text{浸水面積} = C \sqrt{D \times L} = 15.2 \times \sqrt{17000 \times 570} \\ \qquad \qquad \qquad \approx 47,300 \text{ ft}^2$$

(a) 残餘抵抗、

$$R_f = \frac{12.5 b D V^4}{L^2} = \frac{12.5 \times 0.54 \times 17,000 \times 27^4}{570^2} \\ = 188,000 \text{ lbs.}$$

(b) 摩擦抵抗、

$$R_f = 0.009 \times 47,300 \times 27^{1.83} \\ \approx 177,000 \text{ lbs.}$$

(c) 全抵抗、

$$R_T = R_r + R_f = 188,000 + 177,000 \approx 365,000 \text{ lbs}$$

(d) 有効馬力、

$$E.H.P = \frac{R_T \times V \times 6080}{33000 \times 60} = \frac{365000 \times 27 \times 6080}{33000 \times 60} \\ \approx 30250 \text{ H.P.}$$

Midship coefficient

船の切断面 = 縦断面積と、中央部の水体と、外縫合部の水体との比を云ふ。

By John's curve.

1905 年殘餘抵抗ニ關シ Taylor 氏ノ發表シタル曲線圖ニ基キ John 氏ノ作製シタル第14圖ノ如キ曲線圖ハ簡單ニシテ直チニ其ノ算出ニ適シ實用ニ供セラル、同氏ハ殘餘抵抗ハ排水量ニ比例シ比較法則ニヨリ速力ハ排水量ノ六乗根ニ比例スルモノト定メタリ、然ルトキハ $R_w \propto D$ 及ビ $V \propto D^{\frac{1}{6}}$ ナルヲ以テ

$$(E.H.P.)_w = CD^{\frac{7}{6}}.$$

但シ $(E.H.P.)_w$ ハ殘餘抵抗ニ對スル有効馬力トス、
Residuary resistance

上式中 C ハ係數ニシテ艦型ニヨリ同ジカラズ、同氏ハ實驗上之ヲ定メタリ、第14圖ハ [Prismatic coefficient] (排水容積ト水面下中央横斷面積ニ水面上ニ於ケル長サヲ乘シタル容積トノ比ナリ) ヲ横軸ニ係數 C ヲ縦軸ニ採リ $\frac{V^2}{L}$ ノ曲線ヲ示スモノトス、故ニ Prismatic coefficient 及ビ速力長サヲ知ルトキハ C ヲ求メ得ベシ、

例題、前例ト同ジキ船ニテ Prismatic coefficient = 0.6
トスルトキノ有効馬力ヲ求メヨ、

解: —

$$\frac{V^2}{L} = \frac{27^2}{570} = 1.28 \quad \text{ナルヲ以テ}$$

$$C = 0.204.$$

$$\therefore (E.H.P.)_w = CD^{\frac{7}{6}} = 0.204 \times (17,000)^{\frac{7}{6}} \\ = 17,500.$$

又前例ニ依リ摩擦抵抗ニ對スル有効馬力ハ

$$T \cdot v = \sqrt{L} \cdot \sqrt{e} \quad \frac{D}{d} = \frac{L^3}{t^9}$$

$$\frac{T}{v} = \left(\frac{D}{d} \right)^{\frac{1}{6}}$$

$$(E.H.P.)_w = CD \times T \\ = C' D \times D^{\frac{1}{6}} \\ = C' D^{\frac{7}{6}}$$

推進器

$$(E.H.P.)_f = \frac{R_f \times V \times 6080}{33,000 \times 60} = \frac{177,000 \times 27 \times 6080}{33,000 \times 60} \\ \approx 14,660.$$

故ニ全有効馬力ハ

$$E.H.P. = (E.H.P.)_f + (E.H.P.)_w = 14,660 + 17,500 = 32,160.$$

船ノ行進中ノ抵抗ハ以上三者ヲ其ノ主ナルモノトスレドモ尙空氣ノ抵抗アリ然レドモ此ノ抵抗ハ前三位ニ比シ極メテ小量ナルガ故ニ一般ニ此レヲ計算スルノ必要ナシ、

Taylor 氏ハ船體ノ水線以上ニ受タル抵抗ハ船ノ凡テノ部分ヲ中央横斷面上ニ射影シタル面積ニ加ハルモノト見做シ次式ニテ示スコトヲ得ベシト云ヘリ、

$$R_A = 0.0043 AV^2.$$

R_A	空氣ノ抵抗、	听
A	風ヲ受クル面積、	平方呎
V	船ト風トノ相對速力、	節 Relative speed

以上記述シタルモノハ船ガ靜水中ヲ進行スル際ニ生ズル抵抗ナレドモ若シ船ガ波浪アル海洋中ニ航海スルトキハ之ニ對スル抵抗ヲ受ケ且ツ又 Pitching and Rolling ニ依リテ他ノ抵抗ヲ受クベシ、

螺旋推進器モ船尾ニ於テ回轉スルトキハ此ノ部ノ壓力減少シ船體ハ後方ニ吸寄セラントス、爲メニ全抵抗ヲ增加スル作用アルモ後節ニ述ブベシ、

五、推進器ノ失脚、

螺旋推進器ガ水中ニテ回轉スル時ハ水ノ一部ハ推

$$(E.H.P.)_{pr} = \frac{188000 \times 27 \times 6080}{60 \times 33000} = 154.00$$

M. Eiffel α

$$\left\{ \begin{array}{l} F.R - Aeroplane. \\ R = 0.0000122 l^{1.93} A t^{1.82} \\ E.R - ship. \\ R = 0.005 A t^2 \end{array} \right.$$

進器ト反対ノ方向ニ移動サルヲ以テ節丈ヶ進ムヲ得ズ、是レ即チ船ノ速力ハ螺旋ノ速力ニ及バザル所以ニシテ、其ノ差ヲ稱シテ失脚ト言フ、失脚ハ通常百分比 $\frac{v-V}{v} \times 100$ 以テ示シ、 v ヲ螺旋ノ速力、 V ヲ船ノ速力トセバ、 $v-V$ ハ失脚ニシテ、其レヨリ次式ヲ得可シ、

$$\text{推進器ノ失脚 \%} = \frac{v-V}{v} \times 100.$$

是ハ螺旋ノ外觀ノ失脚ト稱スルモノニシテ螺旋ノ真正ノ失脚ナル者ハ此ノ意ニアラザルコトヲ記憶セザルベカラズ、

船ガ平靜ナル水面ヲ曳カレ或ハ帆走スル時ニ其ノ進行ト同ジ方向ニ水ノ流ヲ生ズ、此ノ流ヲWakeト稱ス、是ハ水ト船體トノ摩擦ニ起因ス、然シ船尾ニ於テハ尙ホ他ノ起因アリ、

- (1) 表面摩擦、
- (2) Stream line.
- (3) Transverse wave.
- (4) 水泡 (Eddies)

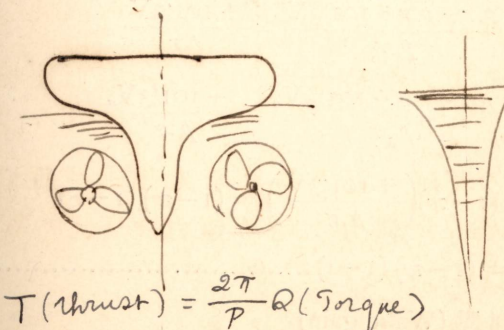
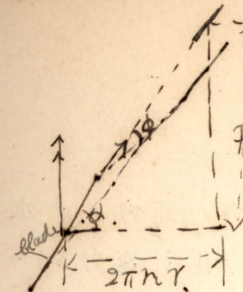
ニヨリテ生ズ、其ノ中最大ナルモノハ表面摩擦ニヨルモノナリ、

Wakeハ水ノ表面ニ近キ程又船ノ軸線ニ近キ程速力大ナリ、此ノWakeノ速力ト、船ノ速力トノ比ヲWake factorト云ヒ、 w ヲ以テ示ス、

V 船ノ速力、 節

V_a 推進器進行速力、 節 トスレバ

$$V_a = V - wV. \quad wV \text{ は Wake の速力ナリ、}$$



$$T(\text{thrust}) = \frac{2\pi}{P} Q(\text{Torque})$$

即チ船ガ V ニテ進シテ wV ナル速力ニテ水ガ船ノ方向ニ進ムガ故ニ推進器ノ實際進行速力 V_a ハ $V - wV$ トナルベシ、

$$V_a = V - wV = (1 - w) V.$$

恰モ靜止セル水ニ於テ V_a ナル速力ニテ進ムコトヲ示ス、

船ノ速力 V ナル故

$$\text{外觀ノ失脚 } S = \frac{\rho \cdot r - 101.3 V}{\rho \cdot r} \quad \begin{matrix} 101.3 = \frac{60.80}{60} \\ \text{in feet per min.} \end{matrix} \quad (1)$$

ρ 節
Pitch

r 每分回轉數、

若シ Wake ヲ考ニ入レルトキハ

推進器進行運動 $V_a = (1 - w) V$. ナル故
Speed of advance

$$\boxed{\text{真正ノ失脚 } S' = \frac{\rho \cdot r - 101.3 V_a}{\rho \cdot r}} \quad (2)$$

(1) 及 (2) 式ヨリ

$$1 - S = \frac{\rho \cdot r - \rho \cdot r + 101.3 V}{\rho \cdot r} = \frac{+ 101.3 V}{\rho \cdot r}$$

$$1 - S' = \frac{\rho \cdot r - \rho \cdot r + 101.3 V_a}{\rho \cdot r} = \frac{+ 101.3 V_a}{\rho \cdot r}$$

$$= (1 - w) \left(\frac{+ 101.3 V}{\rho \cdot r} \right) = (1 - w) (1 - S)$$

$$(1 - S') = (1 - w) (1 - S) \quad (3)$$

Wake ノ利點 (Wake gain)

推進器ヲ船尾ニ置クトキハ Wake ヨリ得ル利點アリ

即チ

$$\frac{V}{V_a} = \frac{V}{V(1-w)} = \frac{I}{I-w}.$$

此ノ利ハ船體ガ Wake ヲ生ズル爲メニ費シタル力
ノ幾分ヲ推進器ガ Wake ノ爲メ回復スルヲ意味ス、
推進軸ニヨリテ推進器ニ與フル仕事ハ推進器ノ回
轉數ト夫レガ實際ニ進ム速力ノミトニヨリテ變化ス、
換言スレバ真正ノ失脚ノミニ關スルモノナルガ有効
仕事ハ推進力ニヨリテ船ノ實際ニ進ム距離、即チ外觀
Work App.
ノ失脚ニヨリテ變化ス、
 $\therefore E.H.P. \rightarrow$ Useful work 即チ Thrust horse power T.H.P.
トノ差異ヲ生ズルモノニシテ

$$\frac{T.H.P.}{E.H.P.} = \frac{I - S}{I - S'} = \frac{I}{I - w}.$$

又推進器ハ船ト同方向ニ流ルル Wake 中ニ回轉ス
ルモノナルヲ以テ之ガ爲メニ推進力ヲ增加スベシ
今 V ヲ以テ Wake ナキトキ、T ナル推進力ニ相當ス
ル船ノ假想速力トシ、 V_s ヲ以テ Wake アルトキノ速力
トスレバ、 $V_s - V$ ハ Wake ノ量ナルベシ、

$$\frac{V_s - V}{V} w' = \frac{V_s - V}{V_s} = I - \frac{V}{V_s} = I - \frac{I}{w};$$

$$\frac{V_s}{V} = \frac{10}{9} = w' \text{ ナレバ } w = \frac{I}{10} = I.$$

$$w' = \frac{I}{I-w}.$$

即チ同ジ T ニ對シテ $\frac{I}{I-w}$ ヲ乘シタルダケ Wake ノ
アル方ガ餘計ノ速力ヲ得ルコトナル、

負數ノ失脚、螺旋推進器ガ動ク場所ハ移動シ易キ
 Negative slip
 水ナルヲ以テ、其ノ性質上真正ノ失脚ハ常ニ正數ナラ
 ザルベカラザルハ明ラカナリト雖モ、若シ船ト同方向
 ニ伴ハルル水流大ナルトキハ、外觀ノ失脚ガ負數トナ
 Apparent slip
 ルコトヲ想像シ得ラルベシ、例令バ茲ニ一個ノ推進器
 アリテ之レガ毎分 ν 回轉ヲナストキニ出ス速力ヲ

$$\frac{\rho r \times 60}{6080} = 10$$
 節トシ、之ガ水中ニテ廻ルトキハ 10 % ノ
 失脚ヲ生ジ 9 節ノ速力ニテ進ムモノトス、今又或ル船
 アリテ此ノ推進器ヲ備ヘ靜水中ニテ ν 回轉スルトキ
 其ノ推力ハ船ニ 11 節ノ速力ヲ與ヘ 2 節ノ Wake ヲ生
 ズルモノト假定スルトキハ、推進器ハ此ノ船ニ取付ケ
 ラレタル爲メ自己ノ回轉ニ對スル速力ヨリモ一節速
 ク進ム、即チ普通ノ失脚ト反對トナル、

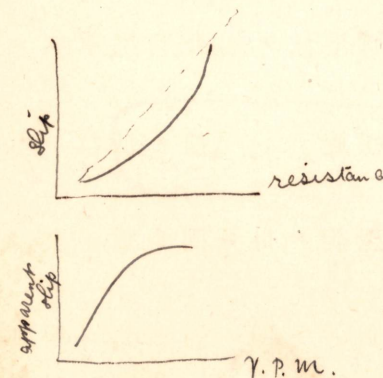
此ノ現象即チ船ノ速力ガ螺旋ノ速力ヨリ大ナル場
 合ニハ普通ノ失脚ト反對ノ結果ヲ生ジ、之ヲ負數ノ失
 脚ト稱ス、前例ニ於テ普通ノ失脚ト反對ナル負數ノ失
 脚 $\frac{1}{10}$ 即チ 10 % ヲ得ルコトトナル、

實驗上ヨリ得タル失脚増減ノ場合ヲ列舉スレバ次
 ノ如シ、

第一、失脚ハ同一ノ螺旋ナレバ船ノ抵抗ト共ニ増
 加ス、

第二、外觀ノ失脚ハ螺旋ノ毎分回轉數ト共ニ漸時
 ニ増加ス、

第三、同一狀態ニ於テハ失脚ハ節ト共ニ増加ス、故
 ニ摩擦ノ考ヲ除ケバ節ヲ小ニシテ回轉數多キ螺



旋ヲ優レリトナスモ、或ル程度ヲ超エ回轉數ヲ増セバ一方水ノ攪亂作用大トナリ小節ノ利益ヲ奪ハルニ至ルベシ。
Churning action

第四、失脚ハ螺旋ノ盤面積ヲ以テ船體ノ中央横斷浸水部面積ヲ除シタル數ガ増ス割合ニ増加ス、故ニ螺旋ノ直徑ハ成ルベク大ナルヲ要ス。

第五、翼面積ノ増加ハ失脚ノ減少ヲ來シ又螺旋ノ長サノ增加モ或ル程度迄之ヲ減少ス、實驗上翼ノ
screw
Aggregate length ガ節ノ 30 % ニ増加スル迄ハ急速ニ減少スルモ、其レ以上 75 % ニナル迄ハ減少度烈シカラズ、75 % 以上ハ殆ンド關係ナシト言フ、尙ホ翼數ノ多少ハ Aggregate length 同一ナル場合ニハ失脚關係ヲ有セズ。

通常有効ナル失脚百分比ハ 10 % 乃至 15 % ナリ。

例題一、軍艦薩摩ノ推進器ノ節 18 呎ニシテ機械ノ回轉數毎分 120、實馬力 8,500 ヲ出スト言フ、螺旋ノ直徑ヲ算出セヨ。

但シ恒數ヲ 19.1 トス、

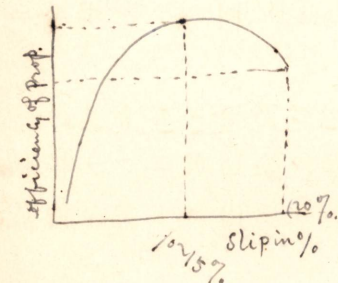
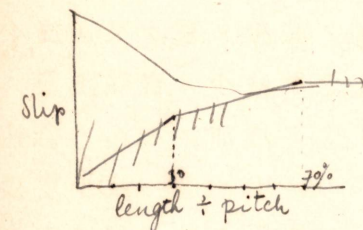
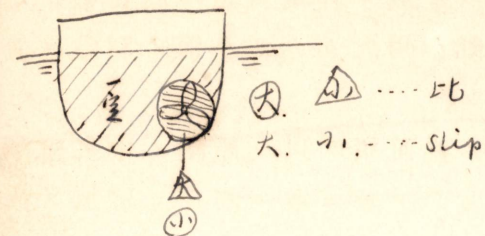
公式 *reciprocating engine - 附錄*

$$\text{螺旋ノ直徑 (呎)} = C \times \sqrt{\frac{\text{I.H.P.}}{(\text{Pitch} \times \text{Revs.})^3}} \quad \text{Diameter of screw}$$

(通例 C ハ 18 乃至 20 ノ間ニアリ)

[解]

$$\text{螺旋ノ直徑} = 19.1 \times \sqrt{\frac{8.600}{\left(\frac{18 \times 120}{100}\right)^3}} = 17.5 \text{ 呎。}$$



例題二、機械ノ回轉數毎分70ニシテ每時14節ノ速力ヲ出シ失脚15%トセバ螺旋ノ節幾何ナルヤ、
公式

$$\text{毎時速力(節)} = \frac{\text{Pitch} \times \text{Revs.} \times 60}{6080 \times 100} \times (100 - \text{app. slip in \%})$$

[解] 螺旋ノ節 = $\frac{14 \times 6080 \times 100}{70 \times 60 \times (100 - 15)} = 23.8$ 呶

例題三、螺旋ノ節15呶、毎分回轉數65ノ時失脚12%
ナリト言フ、毎時ノ速力如何、

[解] 每時速力 = $\frac{15 \times 65 \times 60 \times (100 - 12)}{6080 \times 100} = 8.46$ 浬

例題四、螺旋ノ節18呶毎分回轉數100ニシテ1時間
15浬ヲ出ストシ失脚ヲ百分比ニテ見出スベシ、

[解] 每分時螺旋ノ速力 = $18 \times 100 = 1800$ 呶

每分時船ノ速力 = $\frac{15 \times 6080}{60} = 1520$ 呶

失脚 = $1800 - 1520 = 280$ 呶

$$\frac{280}{1800} \times 100 = 15.6\%$$

例題五、由良川丸1晝夜ノ航海ヲナシ216浬ヲ航
走セルヲ知レリ、同船ハ螺旋ノ節14呶毎分回轉數
70ニシテ、毎時平均1節ノ順潮ニ乗ゼリト云フ、失
脚ヲ百分比ニテ見出セ、

[解] 每時速力 = $216 \div 24 = 9$ 節

每時螺旋ノ速力 = $\frac{14 \times 70 \times 60}{6080} = 9.7$

失脚 = $\frac{9.7 - (9 - 1)}{9.7} \times 100 = 17.5\%$

$$\text{app. slip} = \frac{P\gamma - 101.3V}{P\gamma} = 1 - \frac{101.3V}{P\gamma}$$

$$\therefore V = \frac{P\gamma}{101.3} (1 - \text{app. slip})$$

$$\text{or } P = \frac{101.3V}{V(1 - \text{app. slip})}$$

例題六、前題ノ船航海中強キ逆風ニ遇ヒ、爲メニ回轉數毎分55ニ減ジ、每時ノ速力漸ク6節ヲ出セリト言フ、此ノ場合ニ於ケル失脚ヲ問フ、

$$[\text{解}] \quad \text{失脚} = \frac{7.6 - 6}{7.6} = 21\%.$$

六、螺旋ノ作用ニ基ク抵抗、(推力減失)

Thrust deduction

若シ推進器ガ船ノ後方ニ離レテ裝置セラルルナラバ推進器ハ船ノ周圍ニ生ジタル Stream line ヲ攪亂セズシテ Wake 中ニ動ク利アリト雖モ、實際ニ於テハ推進器ハ船尾ニ近クアリ、從ツテ Stream line ヲ攪亂シ爲メニ船尾ニ於ケル壓力ヲ減ズ、此ノ影響ヲ推力減失ト稱ス、此ノ壓力ノ減少ハ即チ船ノ抵抗ノ增加ヲ意味シ單ニ船ガ曳カルル場合ヨリモ實際船自ラ推進スルニハ餘計ノ力ヲ要スルコトヲ知ル、之ヲ增加抵抗ト云フ、
Augument of resistance

此ノ抵抗ノ增加ハ船尾ノ形狀螺旋ノ大サ及ビ位置等ニ依リテ種々ニ變化シ R.E. Froude 氏ノ實驗ニ依レバ同ジ速力ヲ以テ曳航シタルトキト、推進器ヲ回轉シテ自ラ進行シタル時ト全抵抗ヲ比較スルニ、單螺旋ニシテ幅廣キ船尾及ビ厚キ Stern post ヲ有スル者ニアリテハ約40%，細長ノ船ナレバ15%乃至18%トナリ、雙螺旋ニアリテハ10%乃至12%ニ至ルト云ス、

斯クノ如ク推進器ノ推力 T ハ船體ノ抵抗 R ヨリナルヲ常トスルヲ以テ $R = T(1-t)$ ト定メ此ノ餘計ニ要スル力ヲ次ノ係數ヲ以テ示ス、

$$T > R.$$

$$R = T(1-t)$$

$$T = \frac{R}{1-t}$$

$$\frac{1}{1-t}$$

此ノ ヲ 推力減失係數ト云々、

Thrust deduction factor

Wake ノ利ト推力減失係數式トノ比即チ $\frac{1-t}{1-w}$ 船

體効率ト稱ス、

efficiency

前節ニ述ベシ Wake factor 及ビ推力減失係數、船體効率ノ實驗ノ値ハ船ノ形狀、大小、推進器ノ直徑、節、船體ト推進器ノ關係位置、速力等ニヨリ異ナリ次ニ帝國艦船ノ實例ヲ示ス、

艦名	速力	軸	Wake factor (w) %	Thrust deduc- tion factor (t) %	Hull efficiency %
扶桑	22.5	外	5.8	11.8	0.932
		内	12.6		1.112
比叡	27.5	外	16.1	13.1	1.011
		内	12.9		0.982
伊勢	23.0	外	9.0	10.0	0.981
		内	7.9		0.970
平戸	26.0	—	7.0	7.8	0.986
谷風	37.5	—	0.15	3.1	0.967
天津風	34.0	翼	0.6	4.0	0.966
		中央	2.8		0.987
桃	31.5	—	1.5	4.1	0.973

上表ヲ見ルニ船體効率ハ現今ノ如キ善良ナル形狀ノ艦船ニテハ1附近ナルヲ以テ特別ノ事情アルニアラザレバ之ヲ考フルヲ要セズ、

有効馬力、(E.H.P.)
Effective horse power

船體ノ抵抗ガ速力V節ニ於テR昕トスレバ此ノ速

$$T - T_a = wT$$

$$T = \frac{T_a}{1-w}$$

$$R = T(1-t)$$

$$\frac{RT}{TT_a} = \frac{1-t}{1-w}, \quad RT = T_{\text{th}} \left(\frac{1-t}{1-w} \right)$$

$$\text{wake gain } \frac{1}{1-w}$$

$$\text{Thrust deduction factor} = \frac{1}{1-t}$$

$$\frac{\text{wake gain}}{\text{Thrust deduction factor}} = \frac{1+t}{1-w} = \text{hull efficiency}$$

力ニテ船體ヲ推進セシムルニハ $\frac{1,101}{33,000}$ RV 丈ケノ馬
力ヲ要ス、之ヲ有効馬力ト云フ、

此レハ常ニ雛形等ニ就キ上記ノ方法ニテ算定スルモノナルガ舵張出軸承 Bilge keel, Docking keel 等ヲ附シテ計測算定シタル有効馬力ヲ E.H.P. With appendage ト稱シ此レ等ヲ全ク附セザルモノヨリ求メタルモノヲ E.H.P. of without appendage 或ハ E.H.P. of Naked hull ト稱ス、普通前者ハ後者ヨリ大艦ニアリテハ凡ソ 20% 小艦ニアリテハ 14% 位ナリ、

推進係數、

(Coefficient of propulsion or Propulsive coefficient)

推進係數 = E.H.P. ÷ I.H.P. ——(吸餸式機械ノ場合)...(2)

e_m ノ 機械効率 (Mechanical efficiency) トセバ

e_m 普通 80%—90% ニシテ

最上95%ニ達ス、

e_p ヲ 推進器ノ効率(Propeller efficiency) トセバ

更ニ推進器ハ Wake ヨリ利スル處アリ、故ニ實際推力軸承ニ働く力ハ

之ニ反シ推力減失アル場合ハ

$$\text{推進ニ要スル馬力} \times E.H.P. \times \frac{I}{I-t} \dots\dots\dots(6)$$

(5) ト (6) トハ 同一ナラザル可ラズ、

推進器

$$\text{依リテ } e_p \times S.H.P. \times \frac{I}{1-w} = E.H.P. \times \frac{I}{1-t}$$

$$\frac{E.H.P.}{S.H.P.} = e_p \times \frac{I-t}{1-w} \dots\dots\dots(7)$$

$$\text{推進係数} = \frac{E.H.P.}{I.H.P.} = e_m e_p \frac{I-t}{1-w} \dots\dots\dots(8)$$

船體効率ヲ 1 トシ 推進器効率ヲ 0.5 乃至 0.7 機械効率ヲ 0.8 乃至 0.9 トセバ

$$\text{推進係数ハ } 0.8 \times 0.5 = 40\% \text{ ヨリ}$$

$$0.9 \times 0.7 = 63\% \text{ ニ至ル、}$$

普通ハ 50—55% ナリ、

「タルビン」式機械ノ場合ニアリテハ其ノ推進係数ハ E.H.P. ナル分數ヲ以テ表ハサレ普通 48—58% 位ノ値ヲ有ス、次ニ實例ヲ示ス、

艦名	推進係数 Propulsive coefficient	推進器ノ効率 Propeller efficiency
扶桑	0.51	0.499
伊勢	0.48	0.492
比叡	0.54	0.541
平戸	0.59	0.598
天津風級	0.482 — 0.533	0.494 — 0.546
桃級	0.476 — 0.523	0.489 — 0.537

七、推進器ノ Race.

Propeller Race

螺旋推進器ノ作用ハ事實上筒形ノ水柱ヲ後部ニ投旋

$$\frac{E.H.P.}{I.H.P.} = \frac{I-t}{1-w} = \ell_p$$

$$\text{prop. coeff.} = \frac{E.H.P.}{I.H.P.} = \frac{E.H.P.}{S.H.P. \times e_m} = \frac{\ell_p T.H.P.}{e_m S.H.P.} = \ell_p c_p \cdot e_m$$

$$\text{prop. w.eff.} < e_p \cdot e_m$$

$$\frac{E.H.P.}{S.H.P.} = \frac{I.H.P.}{S.H.P.} = \frac{E.H.P.}{T.H.P.} = \text{hull eff.}$$

$$\frac{E.H.P.}{I.H.P.} = \frac{E.P.}{I.H.P.} = e_m \frac{E.P.}{T.P.} = e_m e_p \frac{1-t}{1-w}$$

$$\text{hull Efficiency} = \frac{E.P.}{e_p S.P.} = \frac{E.P.}{T.P.}$$

$$e_m = \frac{S.H.P.}{I.H.P.} \quad e_p = \frac{T.H.P.}{S.H.P.}$$

出スルコトナル之レヲ推進器ノ Race ト言ヒ、螺旋ノ
推力ハ一定時間内ニ此ノ Race ノ内ニ生ゼラル處ノ
Thrust 後方運動量ヲ以テ測定セラルモノナリ、Race ノ面積
Sternward momentum
ハ略ボ螺旋ノ盤面積ニ等シク、唯轂^{Disc area}ヲ取去リタル者ニ
シテ、尙ホ螺旋翼傾斜ノ爲メ Race 内ノ水ハ後方運動ノ
外旋廻運動ヲ受クルヲ以テ推力ノ一部ハ此ノ旋廻運動ト
水ノ分子間摩擦ノ爲メニ減損ヲ生ズ、故ニ實際螺旋
推進器ノ Race ト言ヘバ船尾ヨリ後方ニ運動シ、種々
ノ速度ニ於テ旋廻スル所ノ連續シタル中空筒形ノ水
柱ナリト言フヲ得可シ、

八、螺旋推進器ノ推力、

船ガ進行スル場合ニ生ズル主ナル抵抗ハ前述ノ如
クナレドモ茲ニハ螺旋ガ水ヲ後方ニ押シ遣ルノ反動
ニ就テ述ブル所アラントス、今航海ノ終期ニ於テ機械
ヲ停止スルモ、船ハ行足ヲ有シテ直チニ停止セザルベ
シ、是レ蓄積セル「エネルギー」即チ運動量ガ水ノ抵抗ニ
打チ勝ツテ作用スルモノニシテ、此ノ「エネルギー」ハ機
械發動ノ際ニ蓄積サレ速度ノ減退ニ遇ツテ始メテ出
現スル者ナリ、故ニ最初機械ヲ發動スルモ其ノ幾分ハ
常ニ吸收サル者トス、

次ニ螺旋ヨリ生ズル力ハ二種ニ大別スルコトヲ得
可ク、即チ船ノ進ム方向ニ一直線ナル者ト或ル角度ヲ
ナスモノニシテ、前者ハ有効動作ヲナシ、後者ハ唯浪費
セラルルノミナレバ、有効推力ナルモノハ直接船尾ニ
Effective thrust